

بررسی ایمونوھیستوشیمیایی پروتئین‌های P_{53} و $Ki-67$ در نمونه‌هایی از کیست‌های ادنتوژنیک التهابی و تکاملی

دکتر مریم خلیلی^۱- دکتر پوریا مطهری^۲- دکتر مریم افشاریان زاده^۳

۱- عضو مرکز تحقیقات دندانپزشکی و استادیار گروه آموزشی آسیب‌شناسی دهان و فک و صورت دانشکده دندانپزشکی دانشگاه علوم پزشکی تهران

۲- استادیار گروه آموزشی آسیب‌شناسی دهان و فک و صورت دانشکده دندانپزشکی دانشگاه علوم پزشکی تهران

۳- دندانپزشک

چکیده

زمینه و هدف: به نظر می‌رسد مکانیسم رشد و رفتار بیولوژیک متفاوت کیست‌های ادنتوژنیک ناشی از تفاوت در میزان ظاهر مولکول‌ها و پروتئین‌های مختلف باشد. هدف از مطالعه حاضر تعیین میزان اکسپرشن پروتئین‌های P_{53} و $Ki-67$ در کیست‌های رادیکولر (RC)، دانتی ژور ملتئب (IDC)، غیرملتئب ($NIDC$) و کراتوسیست (OKC) می‌باشد.

روش بررسی: در این مطالعه توصیفی مقطعی ۱۳ کیست رادیکولر، ۱۵ کیست ملتئب و ۱۹ OKC انتخاب و به روش ایمونوھیستوشیمی برای دومارکر P_{53} و $Ki-67$ و رنگ آمیزی شدند. سلول‌های رنگ گرفته با بزرگنمایی $\times ۴۰۰$ میکروسکوپ نوری مورد شمارش قرار گرفتند. از آزمونهای آماری *Mann-Whitney* و *Kruskal-Wallis* برای تعزیز و تحلیل داده‌ها استفاده گردید.

یافته‌ها: P_{53} در هیچ یک از نمونه‌های DC و RC دیده نشد و در $7/6\%$ از $SIDC$ و $57/9\%$ از OKC مشاهده شد. میانگین بروز آن در OKC برابر $27/68 \pm 27/31$ و در IDC برابر $1/03 \pm 1/00$ درصد بود. بین OKC و سایر کیست‌ها تفاوت معنی‌داری از نظر بروز این پروتئین وجود داشت. ($P=0/006$) $Ki-67$ در $6/14\%$ و $6/6\%$ و $7/73\%$ در OKC ، RC ، IDC و $NIDC$ دیده شد. بین کیست دانتی ژور غیرملتئب و OKC همچنین کیست دانتی ژور ملتئب و غیرملتئب ($P=0/048$) و نیز کیست رادیکولر و دانتی ژور ملتئب از نظر بروز این پروتئین تفاوت معنی‌داری مشاهده گردید. ($P=0/046$)

نتیجه‌گیری: بر اساس نتایج مطالعه حاضر بروز نشانگرهای P_{53} و $Ki-67$ با رفتار بیولوژیک و همچنین فعالیت پرولیفراتیو کیست‌های ادنتوژنیک مرتبط می‌باشد.

کلید واژه‌ها: $Ki-67 \pm P_{53} \pm$ کیست ادنتوژن \pm کیست فکی.

پذیرش مقاله: ۱۳۸۹/۶/۱۶

اصلاح نهایی: ۱۳۸۹/۴/۲۸

وصول مقاله: ۱۳۸۹/۱/۳۱

نویسنده مسئول: دکتر مریم خلیلی، عضو مرکز تحقیقات دندانپزشکی و گروه آموزشی آسیب‌شناسی دهان و فک و صورت دانشکده دندانپزشکی دانشگاه علوم پزشکی تهران
e.mail:mkhali@tums.ac.ir

مقدمه

این ضایعات است. سرعت و نحوه رشد و تکثیر اپی‌تیلیوم می‌تواند مشخص کننده مشی بالینی کیست نیز باشد. برای مثال، ادنتوژنیک کراتوسیست و کیست دنتی جروس هر دو از کیست‌های رشدی تکاملی محسوب می‌شوند. معزالک کراتوسیست رفتار بیولوژیک کاملاً متفاوتی از خود نشان می‌دهد. هر چند دلیل قطعی برای عود بالای این کیست مشخص نشده است گفته شده که احتمالاً فعالیت پرولیفراتیو

کیست‌های ادنتوژن از جمله شایعترین ضایعات حفره دهان و استخوانهای فکین محسوب می‌شوند. این ضایعات بر اساس منشأ و پاتوژنز به دو دسته رشدی تکاملی و التهابی تقسیم‌بندی می‌گردند. کیست‌های ادنتوژنیک التهابی در نتیجه آماس ایجاد می‌شوند در صورتی که مکانیزم ایجاد کیست‌های رشدی تعاملی نامشخص است. (۱)، پرولیفراسیون اپی‌تیلیال با منشأ ادنتوژن وجه مشترک تمامی

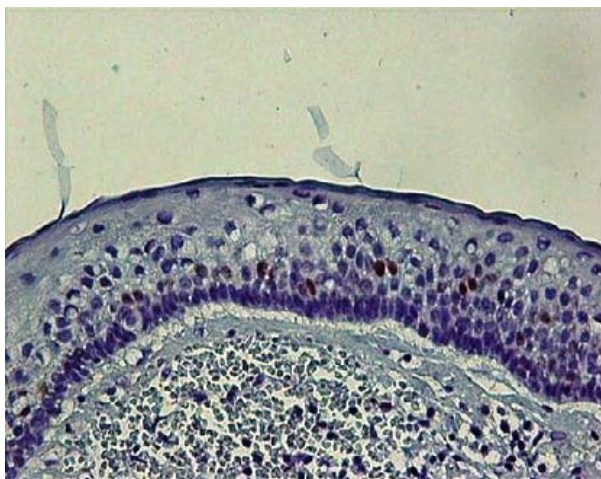
روش بررسی

مطالعه حاضر به روش توصیفی و مقطعی انجام گردید. جامعه مورد مطالعه نمونه کیست‌های انتوژنیک موجود در بخش آسیب‌شناسی دهان و فک دانشکده دندانپزشکی دانشگاه علوم پزشکی تهران بود. ابتدا کلیه پروندهای موجود در بایگانی بخش در فاصله سالهای ۱۳۷۶-۱۳۸۴ مورد بررسی قرار گرفت و موارد کیست‌های مورد بررسی مجزا گردید. اسلامیدهای H&E مربوط به این موارد مورد مطالعه قرار گرفت و تشخیص هیستوپاتولوژیک بر اساس معیارهای موجود تأیید شد. در مورد کیست دنتی جروس التهابی سعی شد از نمونه‌هایی استفاده شود که کاملاً مشابه یک کیست رادیکولر بوده و با فرض مشخص موجود نبودن اطلاعات بالینی و رادیوگرافیک تشخیص کیست التهابی برای آن در نظر گرفته شود. با در نظر گرفتن مواردی نظیر وجود بافت کافی در بلوك پارافیني، ضخامت و ميزان کافی اپی‌تلیوم در نمونه رنگ‌آمیزی شده با H&E وجود حداقل خونریزی وجود اطلاعات مربوط به متغیرهای زمینه‌ای (سن، جنس و محل ضایعه) در نهایت ۵۷ مورد جهت رنگ‌آمیزی ایمونوهیستوژنیکی انتخاب شدند.

از بلوك‌های پارافیني هر نمونه دو مقطع به ضخامت پنج میکرون تهیه و بر روی لام شیشه‌ای آماده شده با پلی‌ایزین قرارگرفت. برای رنگ‌آمیزی از روش استاندارد Streptavidin- immunoperoxidase-Biotin استفاده شد. به طور خلاصه، ابتدا مقاطع تهیه شده توسط گزینه دپارافینه و با استفاده از محلولهای الكلی رقیق شده رهیدراته شدند. از فعالیت پراکسیداز اندوژن به وسیله انکوباسیون نمونه‌ها با پراکسیدهیدروژن^۳ در متابول به مدت سی دقیقه مانعت به عمل آمد. برای Antigen retrieval نمونه‌ها ۱۵ دقیقه در بافر سیترات ۰/۰۱ مولار و Ph=۶ با درجه بالا میکروویو شدند. پس از آن شستشو برای سه بار متواالی هر بار به مدت پنج دقیقه با Tris Buffer Sulfate انجام گردید. برای جلوگیری از واکنشهای غیراختصاصی مقاطع با سرم ۱۰٪ به مدت ده دقیقه انکوبه شدند. سپس واکنش با آنتی‌بادی‌های

اپی‌تلیوم این کیست می‌تواند به عنوان یک عامل مهم محسوب گردد. (۲)، اخیراً شواهد و نشانه‌هایی دال بر رفتار نئوپلاستیک این کیست وجود دارد که باعث جداسدن آن از تقسیم بندی کیست‌ها در طبقه‌بندی اخیر WHO گردیده است. (۳)، مطالعات بسیاری به بررسی تفاوت‌های موجود بین کیست‌های انتوژنیک و عوامل مولکولی دخیل در این مسئله پرداخته‌اند. از این دسته می‌توان به تحقیقاتی بر روی پروتئین‌های چرخه سلولی، عوامل مؤثر بر آپوپتوز، عوامل رشد و مارکرهای مختلف پرولیفرازیون سلولی اشاره کرد. (۴-۸) بیشترین مطالعات بر روی P53 به عنوان پروتئینی با چندین نقش متفاوت صورت گرفته است. (۹-۱۱)، علاوه بر آن عوامل مؤثر در پرولیفرازیون سلولی نیز به روش‌های مختلف مورد بررسی قرار گرفته‌اند. مطالعاتی نیز به بررسی همزمان این دو عامل پرداخته‌اند. چرا که در حقیقت رشد و تکثیر سلولی متأثر از عوامل مختلفی است و به طور عمده حاصل برآیند نقش عوامل تکثیری و عوامل آپوپوتیک می‌باشد. (۱۲-۱۵)

به دلیل اهمیت بالینی کراتوسیست (OKC)، به بررسی و مقایسه این کیست با سایر کیست‌های انتوژنیک خصوصاً کیست‌های رشدی تکاملی نظیر دنتی جروس بیشتر پرداخته شده است. (۱۶-۱۸)، البته مطالعاتی نیز بر روی کیست‌های انتوژنیک تکاملی و التهابی خصوصاً رادیکولر انجام شده است. معدالک در اکثر این مطالعات توجهی به فرآیند آماسی کیست‌های رشدی تکاملی نشده است. کیست‌های رشدی تکاملی خصوصاً OKC و کیست دنتی جروس می‌توانند به طور ثانویه دچار التهاب گردند و این مسئله در پاره‌ای موضع حتی تصویر هیستوپاتولوژیک ضایعه را دچار تغییر می‌سازد. (۱)، دیده شده که التهاب می‌تواند بر روی ميزان بروز مارکرهای مولکولی نیز تأثیرگذار باشد. اماً اطلاعات در این زمینه اندک است. (۱۹-۲۱)، با در نظر گرفتن موارد فوق مطالعه حاضر با هدف ارزیابی و مقایسه ميزان Expression دو پروتئین P53 و ki-67 در OKC کیست دنتی جروس با و بدون التهاب و کیست رادیکولر انجام شد.



شکل ۲: Expression پروتئین ki-67 در OKC (بزرگنمایی چهارصد برابر)

بودن توزیع داده‌ها از آزمونهای آماری غیرپارامتری Kruskall-Wallis (برای به دست آوردن مرتبه میانی هر یک از پروتئین‌ها) و Mann-Whitney (برای ارزیابی همبستگی بین پروتئین‌ها) با $P < 0.05$ به عنوان سطح معنی‌داری استفاده گردید.

یافته‌ها

پس از رنگآمیزی ایمونوھیستوشیمیایی با مارکرهای ki-67 و P₅₃ در چهار کیست OKC، رادیکولر (RC)، دانتیژور با و بدون التهاب (به ترتیب IDC و NIDC) نتایج زیر به دست آمد:

(الف) یافته‌های بالینی:

در این مطالعه ۱۳ کیست رادیکولر، OKC ۱۹، ده مورد کیست دانتیژور بدون التهاب و ۱۵ نمونه کیست دانتیژور ملتئب مورد بررسی قرار گرفت. اطلاعات مربوط به سن، جنس و محل ضایعات در جداول ۱-۳ قابل مشاهده است.

(ب) یافته‌های مربوط به IHC

- نتایج مربوط به پروتئین P₅₃

در هیچ یک از کیست‌های رادیکولر پروتئین P₅₃ مشاهده نشد. بروز این پروتئین در ۵۷/۹ از موارد OKC دیده شد. هیچ یک از موارد کیست دانتیژور غیرملتهب این پروتئین را

P₅₃, ki-67, (Prediluted , Dako, Copenhagen , Denmark) به مدت یک ساعت در دمای اتاق انجام شد. در مرحله بعد نمونه‌ها با PBS در سه نوبت پنج دقیقه‌ای شستشو داده شدند. واکنش با آنتی‌بادی ثانویه در دمای اتاق به مدت سی دقیقه صورت گرفت و مجددًا شستشو با PBS انجام گردید. پس از آن نمونه‌ها با DAB به مدت ۵-۱۰ دقیقه انکوبه و با هماتوکسیلین Mayer's Counterstain رنگآمیزی شدند. کنترل مثبت برای هر دو مارکر نمونه مثبت شده‌ای از کارسینوم پستان بود. کنترل منفی با جایگزینی سرم موشی به جای آنتی‌بادی اولیه حاصل گردید.

مقاطع رنگآمیزی شده برای پروتئین‌های P₅₃ و ki-67 در زیر میکروسکوپ نوری مورد مشاهده قرار گرفت و سلولهای به رنگ قهوه‌ای به عنوان مثبت در نظر گرفته شدند. (شکل ۱ و ۲) شمارش سلولی در بزرگنمایی ۴۰۰ × انجام و به دو روش کمی یا (Labeling index) LI شامل نسبت سلولهای رنگ گرفته به هزار سلول (۲۲) و غیر کمی شامل نسبت سلولهای رنگ گرفته به کل سلول‌ها انجام شد. بر این اساس میزان سلول‌های رنگ‌گرفته $0\%-50\%$ منفی، $5\%-25\%$ +، $25\%-50\%$ ++ و پیش از $50\%-100\%$ در نظر گرفته شد. (۲۳) جهت تعیین نرمال بودن توزیع داده‌ها از آزمون Kolmogorov- Smirnov استفاده شد. به دلیل غیرنرمال



شکل ۱: رنگآمیزی ایمونوھیستوشیمیایی ki-67 در OKC سلول‌های تیره رنگ مثبت در نظر گرفته می‌شوند (بزرگنمایی صد برابر)

از ۱۹ نمونه، ۴۴٪ از DC و ۶٪ از IDC از آنها مشاهده شد. بین DC و IDC و DC.OKC (P=۰.۴۸) و کیست رادیکولر (P=۰.۴۶) تفاوت آماری معنی داری مشاهده شد. همچنین در هیچ یک از کیست های مورد مطالعه ارتباط آماری معنی داری بین دو مارکر P₅₃ و ki-67 مشاهده نگردید. مقادیر کمی Expression مارکرهای مورد بررسی در جدول ۴ قابل مشاهده است.

نشان ندادند. اما Expression پروتئین در ۷٪ معادل یک مورد از نمونه های کیست دانتی ژور ملتهد دیده شد. از نظر آماری تفاوت معنی داری بین OKC و سایر کیست ها وجود داشت. (P=۰.۰۶) بین سایر کیست ها از نظر بروز این پروتئین اختلاف آماری مشاهده نشد.

- نتایج مربوط به پروتئین kI-67: این پروتئین در ۸۴٪ از کیست های رادیکولر معادل ۱۱ مورد از ۱۳ نمونه، ۷۷٪ از OKC برابر ۱۴ مورد

جدول ۱: توزیع فراوانی کیست های ادنتوژنیک بر حسب محل ضایعه

ضایعه	قدام فک بالا		خلف فک بالا		قدام فک پایین		خلف فک پایین		جمع	
	%	n	%	n	%	n	%	n	%	n
کیست رادیکولر	۷/۷	۱	۷/۷	۲	۷/۷	۷/۷	۰	۱۱	۸۴/۶	۱۳
ادنتوژنیک کراتوسیست	۲۱/۱	۴	۱۰/۵	۱	۵/۳	۱۱	۵/۳	*۱۸	۵۷/۹	۹۴/۷
دانتی ژور بدون التهاب	۳۰	۳	۳۰/۰	۰	۴۰/۰	۱۰	۰	۴	۴۰/۰	۱۰
کیست دانتی ژور ملتهد	۱۲/۳	۲	۱۲/۳	۳	۴۰	۵	۲۲/۳	۱۵	۳۲/۳	۱۰۰

* در یک مورد محل قید نشده بود.

جدول ۲: اطلاعات مربوط به سن در نمونه های مورد مطالعه (بر حسب سال)

ضایعه	تعداد	بیشینه	کمینه	متوسط	انحراف معیار	ن	%
کیست رادیکولر	۱۳	۶۷/۰۰	۸/۰۰	۴۰/۰۰	۱۷/۵۴۵۱	۱۳	۱۰۰
کراتوسیست	۱۹	۶۸/۰۰	۱۰/۰۰	۲۱/۰۵	۱۵/۴۲۵۷	۱۹	۹۴/۷
دانتی ژور بدون التهاب	۱۰	۵۷/۰۰	۱۶/۰۰	۱۲/۵۰	۳۳/۱۲۵۰	۱۰	۱۰۰
کیست دانتی ژور ملتهد	۱۵	۵۴/۰۰	۹/۰۰	۰۶۶۷	۲۳/۰۶۶۷	۱۵	۱۰۰

جدول ۳: اطلاعات مربوط به جنس در نمونه های مورد مطالعه

ضایعه	جنس		
	ذن	مرد	جمع
ضایعه	تعداد	درصد	تعداد
کیست رادیکولر	۹	۶۹/۲	۴
کراتوسیست	۵	۲۶/۳	۱۳
دانتی ژور بدون التهاب	۲	۲۰/۰	۸
کیست دانتی ژور ملتهد	۸	۵۲/۳	۷

* در یک مورد جنس بیمار قید نشده بود.

جدول ۴: میزان Expression پروتئین‌های مورد بررسی به تفکیک هر ضایعه به صورت کمی (درصد)

ضایعه	نوع مارکر	تعداد	حداقل	حداکثر	میانگین	انحراف معیار
رادیکولر	P ₅₃	۱۳	۰	۰	۰/۰	۰/۰
	Ki ₆₇	۱۳	۰	۵۰	۱۷/۵۲	۱۶/۵۲
	P ₅₃	۱۹	۰	۱۰۰	۱۷/۲۱	۲۷/۶۸
	Ki ₆₇	۱۹	۰	۱۰۰	۱۷/۷۸	۲۳/۹۴
	P ₅₃	۱۰	۰	۰	۰/۰	۰/۰
	Ki ₆₇	۹	۰	۱۰	۲/۴۴	۲/۴۳
	P ₅₃	۱۵	۰	۴	۰/۲۷	۱/۰۳
	Ki ₆₇	۱۵	۰	۲۵	۱۱/۳۳	۱۰/۰۸

بحث

شدت رنگپذیری انجام شد. همچنین بین بروز P₅₃ و ki-67 ارتباط آماری معنی داری مشاهده نشد. Slootweg و همکاران شدت رنگپذیری سلولها را نیز در نظر گرفتند و به این نتیجه رسیدند که سلولهای P₅₃ مثبت با رنگپذیری بالاتر دارای پرولیفراسیون بیشتری نیز می‌باشند. (۱۲) Ozveren و همکاران نیز تفاوت Expression این پروتئین را در بین کیست‌های مختلف انتوتوزنیک بررسی کردند و به نتایج مشابهی دست یافتند. (۱۱)، اخیراً Poomsawat و OKC همکاران نیز در مطالعه خود افزایش بروز P₅₃ را در Carvalhais و همکاران نشان دادند. (۱۰)، اما نتایج بررسی Shearagaram و همکاران بر روی کیست‌ها و تومورهای انتوتوزنیک حاکی از آن بود که بروز P₅₃ در ضایعات انتوتوزنیک متفاوت نمی‌باشد. (۵) از مجموع مطالعات فوق می‌توان نتیجه گرفت که پروتئین P₅₃ ممکن است نقش مهم و مؤثری در روند تشکیل کیست‌های انتوتوزنیک ایفا نماید. افزایش قابل توجه این پروتئین در OKC می‌تواند توجیه کننده مشی بالینی متفاوت این کیست باشد. از طرف دیگر با توجه به نقش اثبات شده این پروتئین در تومورهای انتوتوزنیک و غیر انتوتوزنیک، می‌تواند ماهیت نئوپلاستیک این ضایعه را تأیید نماید. این فرضیه توسط Agaram و همکاران، همچنین Shearagaram و همکاران مورد تأیید قرار گرفته است. (۱۶، ۳) اخیراً Gurgeel و همکاران نیز با بررسی بروز ki-67 و P₆₃ در OKC به این نتیجه رسیدند که روند پرولیفراسیون

مطالعات بسیاری به بررسی نقش P₅₃ در ضایعات مختلف پرداخته‌اند. این پروتئین دارای نقشهای مقاومتی می‌باشد و در هنگام آسیب DNA از طریق سایر مولکول‌ها باعث دو روند جدا از هم یعنی توقف چرخه سلولی و آپوپتوز می‌شود. پروتئین P₅₃ نیمه عمر کوتاهی در حد بیست دقیقه دارد. بنابراین آنچه به عنوان این پروتئین توسط تکنیک ایمونوھیستوشیمی مورد بررسی قرار می‌گیرد، پروتئین غیر ایمونوھیستوشیمی می‌باشد. در این پروتئین در حد بیست دقیقه نرمال است که به علت موتاسیون در ژن مربوطه و یا به علت تجمع پروتئین غیرفانکشنال اتفاق می‌افتد. نتایج مطالعه حاضر نشانگر تفاوت Expression این پروتئین در OKC نسبت به سایر کیست‌های مورد بررسی است. Ogden و همکاران در سال ۱۹۹۲ نشان دادند که در OKC دارای سلول‌های P₅₃⁺ است در حالی‌که کیست رادیکولر و کیست دانتی‌ژور فاقد آن می‌باشدند. (۲۲) همچنین نتیجه مطالعات N_i نشان داد که سلول‌های P₅₃⁺ در هر سه کیست OKC، Rадیکولر و دنتی جروس وجود دارد اما شدت رنگ پذیری در OKC به طور قابل توجهی از سایر کیست‌ها بیشتر است. (۶) پس از آن Piattelli و همکاران ضمن بیان همین نتیجه در مطالعه خود تفاوت Expression این پروتئین را در با و بدون دیسپلازی نیز نشان دادند. (۹) نتایج مطالعه حاضر با نتایج مطالعات قبلی هماهنگ می‌باشد با این تفاوت که در این مطالعه شمارش سلول‌های مثبت بدون توجه به

افزایش کاتونی بروز این آنتی ژن در مناطق با آماس متوسط تا شدید وجود دارد. اما تأثیری بر روی میزان پرولیفراسیون در کل ضایعه ندارد. (۲۰)، نتایج مشابهی نیز در مطالعه Clark و همکاران دیده شد. (۲۱)، معدالک در Batista de Paula تعیین نقش آماس در پرولیفراسیون سلولی، Expression هر دو مارکر PCNA و ki-67 را در OKC های آماسی و غیر آماسی بررسی کرده و نتیجه گرفته که فعالیت پرولیفراتیو سلول های اپی تیالی در OKC التهابی بالاتر می باشد. (۱۹)، در مطالعه حاضر، افزایش ki-67 در OKC نیز دیده شد که تحت تأثیر مکانیزمی جداگانه از آماس و به دلیل ماهیت و مشی کلینیکی متفاوت این کیست می باشد. Slootweg و همکاران با مطالعه این مارکر در کیست ها و تومورهای ادنتوژنیک نتیجه گرفته که این پروتئین در آملوبلاستوما و OKC مشابه بوده و از کیست رادیکولر و دنتی جروس و Sun و بیشتر شده است. (۱۳)، مطالعات Kichi و همکاران و de Oliveira همکاران نیز در همین راستا می باشد. (۱۲) و (۷)، و همکاران نیز میزان بروز PCNA در کیست رادیکولر و دنتی جروس را علی رغم منشأ متفاوت آنها یکسان گزارش کردند. در این مطالعه OKC بالاترین میزان بروز PCNA را نشان داد. (۱۴)، البته در این مطالعه نیز همانند سایر مطالعات ملتهب یا غیرملتهب بودن کیست دنتی جروس مورد بررسی قرار نگرفته بود و نتایج حاصل از مطالعه حاضر بررسی جدا کردن دو ضایعه مزبور می تواند به واقعیت نزدیکتر باشد. اخیراً Gadbail و همکاران ایندکس پرولیفراسیون واقعی Actual proliferating index ادنتوژنیک را با اندازه گیری LI-ki-67 و شمارش AgNOR محاسبه کردند و به این نتیجه رسیدند که شمارش AgNOR و بروز پروتئین P53 در ضایعات ادنتوژنیک می تواند عامل مهمی در پیش آگهی و مشی بالینی محسوب گردد. (۱۵)، در مطالعه حاضر ارتباطی بین دو مارکر مشاهده نشد و به نظر می رسد که این مسئله حاکی از دو مسیر متفاوت عملکرد این دو عامل در پرولیفراسیون سلولی باشد. Ogden و همکاران با رنگ آمیزی با PCNA نشان دادند که سلولهای P53⁺

اپی تیال در این کیست بیشتر به نفع ماهیت تومورال ضایعه می باشد. (۱۸)، البته باید خاطر نشان ساخت که در مطالعه حاضر مقایسه بین کیست ها و تومورها انجام نپذیرفته است. بنابراین نتیجه گیری مستقیم در رابطه با ماهیت تومورال OKC از این مطالعه امکان پذیر نمی باشد. اما با توجه به عدم بروز این پروتئین در تمامی کیست ها به جز OKC تفاوت مشی بیولوژیک این ضایعه را می توان توجیه کرد. همان طور که گفته شد مهمترین تفاوت مطالعه حاضر با مطالعاتی که در این زمینه انجام شده اند مقایسه کیست دانتی ژور ملتهب و غیر ملتهب می باشد. از آنجایی که تفاوت آماری معنی داری بین کیست های التهابی و غیر التهابی دانتی ژور و نیز کیست رادیکولر مشاهده نشد، می توان نتیجه گرفت که التهاب و مدیاتورهای آماسی بر روی این پروتئین اثری نداشته یا اثر یکدیگر را متعادل می نمایند. به عبارت دیگر ممکن است چندین مدیاتور آماسی در این زمینه مداخله نمایند و اثر تداخلی آنها منجر به عدم تأثیر بر روی Expression پروتئین P53 گردد. نتایج این مطالعه با نتایج حاصل از مطالعه Clark و همکاران مطابقت دارد. (۲۱) اگرچه P53 به طور غیرمستقیم در پرولیفراسیون سلولی نقش دارد اما برای اندازه گیری میزان فعالیت پرولیفراتیو سلول ها روش های مختلفی پیشنهاد شده است. بر این اساس دو مارکر PCNA و ki-67 در کیست های ادنتوژنیک بیشتر مورد مطالعه قرار گرفته اند. نکته بسیار مهم در مطالعه حاضر افزایش قابل ملاحظه بروز ki-67 در کیست دانتی ژور ملتهب نسبت به غیر ملتهب بود. همچنین میزان Expression این پروتئین در کیست رادیکولر از سایر انواع کیست ها بیشتر بود. در نتیجه مسئله تأثیر التهاب بر روی پرولیفراسیون سلولی مطرح می گردد. از آنجایی که آماس و ترمیم دو فرآیند وابسته به هم می باشند افزایش مدیاتورهای آماسی با تأثیر بر چرخه سلولی باعث افزایش پرولیفراسیون می گردد. نتایج حاصل از مطالعه Suzuki و همکاران نیز مؤید همین مسئله است. (۲۲)، Kaplan و همکاران Expression آنتی ژن ki-67 را در OKC و رابطه آن را با آماس مورد بررسی قرار دادند و نتیجه گرفته که

رابطه با ki-67 نمایانگر نقش آماس در افزایش فعالیت پرولیفراتیو جدار کیست‌ها می‌باشد. چنین نقشی در رابطه با P₅₃ مشاهده نشد.

تشکر و قدردانی

این مطالعه در قالب طرح تحقیقاتی شماره ۲۹۷۰ و با پشتیبانی معاونت محترم پژوهشی دانشگاه علوم پزشکی تهران انجام پذیرفت. ضمناً از آقای دکتر محمد جواد خرازی‌فرد مشاور آماری طرح تشکر و قدر دانی می‌گردد.

فعالانه در حال تقسیم می‌باشد. Slootweg و همکاران نیز توزیع مکانی مشابهی برای سلولهای ki-67⁺ و P₅₃⁺ مشاهده کردند. (۱۲). به نظر می‌رسد که مکانیزم این روند به دلیل مهار نقش محدود کننده رشد P₅₃ نرمال و به دنبال آن افزایش فعالیت پرولیفراتیو سلولی می‌باشد. البته ممکن است عوامل واسطه‌ای نیز در این میان نقش داشته باشد که ضرورت مطالعات بیشتر را خاطر نشان می‌سازد.

نتیجه‌گیری

بالاتر بودن ki-67 و P₅₃ در مطالعه حاضر می‌تواند توجیهی برای مشی بالینی متفاوت این ضایعه باشد. همچنین نتایج در

REFERENCES

1. Neville B , Damm DD, Allen CM , Bouquot J. Oral & Maxillofacial Pathology. WB Saunders: St Louis; 2009, 678-688.
2. Kim DK, Ahn SG, Kim J, Yoon JH. Comparative Ki-67 expression and apoptosis in the odontogenic keratocyst associated with or without an impacted tooth in addition to unilocular and multilocular varieties. *Yonsei Med J*. 2003 Oct; 44(5):841-6.
3. Shear M.The aggressive nature of the odontogenic keratocyst: Is it a benign cystic neoplasm? Part 2. Proliferation and genetic studies. *Oral Oncol*. 2002 Jun; 38(4):323-31.
4. Moreira PR, Guimarães MM, Guimarães AL, Diniz MG, Gomes CC, Brito JA, Gomez RS. Methylation of P16, P21, P27, RB1 and P53 genes in odontogenic keratocysts. *J Oral Pathol Med*. 2009 Jan; 38(1):99-103.
5. Carvalhais J, Aguiar M, Araújo V, Araújo N, Gomez R. P53 and MDM2 expression in odontogenic cysts and tumours. *Oral Dis*. 1999 Jul; 5(3):218-22.
6. Li TJ, Browne RM, Matthews JB. Immunocytochemical expression of growth factors by odontogenic jaw cysts. 0 RO&DWKO) HE ±
7. Kichi E, Enokiya Y, Muramatsu T, Hashimoto S, Inoue T, Abiko Y,Shimono M. Cell proliferation, apoptosis and apoptosis-related factors in odontogenic keratocysts and in dentigerous cysts. *J Oral Pathol Med*. 2005 May; 34(5):280-6.
8. Kimi K, Kumamoto H, Ooya K, Motegi K. Immunohistochemical analysis of cell-cycle- and apoptosis-related factors in lining epithelium of odontogenic keratocysts. *J Oral Pathol Med*. 2001 Aug; 30(7):434-42.
9. Piattelli A, Fioroni M, Santinelli A, Rubini C. P53 protein expression in odontogenic cysts. *J Endod*. 2001 Jul; 27(7):459-61.
10. Poomsawat S, Punyasingh J, Vejchapipat P. Immuno-histochemical expression of p53 protein and iNOS in odontogenic cysts. *J Med Assoc Thai*. 2009 Jul; 92(7):952-60.

11. Özveren A, Tuskan C, Yaltirik M, Atalay B , Erseven G. Expression of the tumour suppressor gene p53 in odontogenic cysts.Turk J Med Sci. 2003 Sep; 33(4):243-7.
12. Sun M, Liao X, Wang Cell proliferation in odontogenic jaw cyst epithelium. Hua Xi Kou Qiang Yi Xue Za Zhi. 2001Jun; 19(3):144-5, 157.
13. Slootweg PJ. P53 protein and Ki-67 reactivity in epithelial odontogenic lesions. An immunohistochemical study. J Oral Pathol Med. 1995 Oct;24(9):393-7.
14. De Oliveira MG, Luxen Ida S, Chaves AC, Rados PV, Sant'Ana Filho M. Immunohistochemical analysis of the patterns of p53 and PCNA expression in odontogenic cystic lesions. Oral Med Oral Pathol Oral Cir Bucal. 2008 May; 13(5):E275-80.
15. Gadball AR, Chaudhary M, Patil S, Gawande M. Actual Proliferating Index and p53 protein expression as prognostic marker in odontogenic cysts. Oral Dis. 2009 Oct;15(7):490-8.
16. Agaram NP, Collins BM, Barnes L, Lomago D, Aldeeb D, Swalsky P, Finkelstein S, Hunt JL .Molecular analysis to demonstrate that odontogenic keratocysts are neoplastic. Arch Pathol Lab Med. 2004 Mar; 128(3):313-7.
17. Stoll C, Stollenwerk C, Riediger D, Mittermayer C, Alfer J. Cytokeratin expression patterns for distinction of odontogenic keratocysts from dentigerous and radicular cysts.Oral Pathol Med. 2005 Oct; 34(9):558-64.
18. Gurgel CA, Ramos EA, Azevedo RA, Sarmento VA, da Silva Carvalho AM, dos Santos JN. Expression of Ki-67, p53 and p63 proteins in keratocyst odontogenic tumours: an immunohistochemical study. J Mol Histol. 2008 Jun; 39(3):311-6. Epub 2008 Feb 7.
19. de Paula AM, Carvalhais JN, Domingues MG, Barreto DC, Mesquita RA. Cell proliferation markers in the odontogenic keratocyst: effect of inflammation. J Oral Pathol Med. 2000 Nov;29(10):477-82.
20. Kaplan I, Hirshberg A. The correlation between epithelial cell proliferation and inflammation in odontogenic keratocyst.Oral Oncol. 2004 Nov; 40(10):985-91.
21. Clark P, Marker P, Bastian HL, Krogdahl A. Expression of p53, Ki-67, and EGFR in odontogenic keratocysts before and after decompression. J Oral Pathol Med. 2006 Oct;35(9):568-72.
22. Suzuki T, Kumamoto H, Kunimori K, Ooya K. Immunohistochemical analysis of apoptosis-related factors in lining epithelium of radicular cysts. J Oral Pathol Med. 2005 Jan;34(1):46-52.
23. Ogden GR, Chisholm DM, Kiddie RA, Lane DP.p53 protein in odontogenic cysts: Increased expression in some odontogenic keratocysts. J Clin Pathol. 1992 Nov;45(11):1007-10.